

# Wykorzystanie algorytmu Proppa-Wilsona w modelu Isinga

Jan Wojtas, Oskar Werner

# Motywacja

Motywacją do powstania modelu Isinga było przeprowadzenie następującego doświadczenia:

Wyobraźmy sobie, że dysponujemy kulką wykonaną z materiału wykazującego własności ferromagnetyczne (np. z żelaza).

Kulkę zawieszamy na sznurku, a w pewnej odległości od niej ustawiamy magnes. Pod magnesem zaś znajduje się świeca.

Podczas przeprowadzenia doświadczenia zaobserwowano ciekawą własność. Po przyciągnięciu przez magnes owej kulki okazywało się, że w wyniku ogrzania ciepłem pochodzącym od świecy kulka wracała do swojego pierwotnego położenia - traciła właściwości magnetyczne. Formalnie, pod wpływem ciepła kulka stawała się paramagnetykiem.

W celu analizowania tego zjawiska powstał model Isinga.

# Doświadczenie

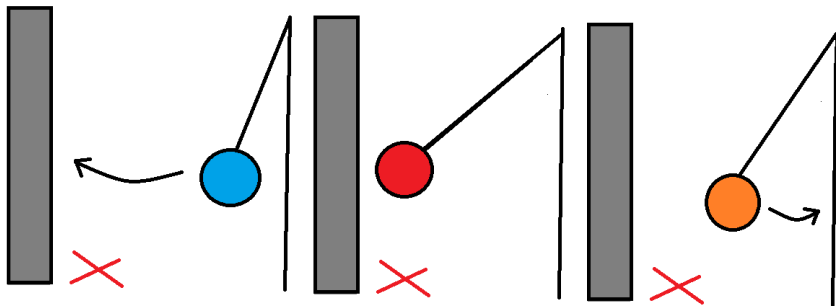


Figure 1: Motywacja dla modelu Isinga

# Model Matematyczny

Z fizycznego punktu widzenia zakładamy, że dysponujemy ferromagnetykiem, umieszczonym w izolowanym rezerwuarze termicznym, o stałej temperaturze  $T = \text{const}$ . Dla uproszczenia przyjmujemy również, że ferromagnetyk zbudowany jest wyłącznie z atomów oraz węzłów pomiędzy atomami.

Patrząc na problem od strony matematycznej, rozpatrujemy graf  $G = (V, E)$ , gdzie  $V$  jest zbiorem wierzchołków reprezentujących atomy, zaś  $E$  zbiorem krawędzi - węzłów. Ponadto, każdemu z wierzchołków przypisujemy pewną wartość  $\sigma_v \in \{-1, 1\}$ , tzw. spin. Wprowadzamy oznaczenie  $\xi \in \{-1, 1\}^N$  jednoznacznie określające konkretny układ spinów w grafie.

Energia wybranego układu  $\xi$  zadana jest przez hamiltonian, opisany następującym wzorem:

$$H(\xi) = - \sum_{(i,j) \in E} J_{ij} \sigma_i \sigma_j - \sum_{i \in V} h_i \sigma_i,$$

gdzie  $J_{ij}$  jest wartością oddziaływania  $i$  z  $j$ , zaś  $h_i$  opisuje wartość zewnętrznego pola magnetycznego wierzchołka  $i$ . W niniejszej pracy rozpatrujemy model uproszczony, gdzie  $J_{ij} = J = 1$  dla każdej pary  $(i, j) \in E$  oraz  $h_i = 0$  dla każdego  $i \in V$ . Wówczas wzór redukuje się do postaci:

$$H(\xi) = - \sum_{(i,j) \in E} \sigma_i \sigma_j$$

Energi wpływa bezpośrednio na prawdopodobieństwo pojawienia się układu w określonej temperaturze  $T$ . Ściślej, prawdopodobieństwo wystąpienia konkretnego układu  $\xi$  jest zadane przez rozkład Boltzmannna:

$$\pi_{G,\beta}(\xi) = \frac{1}{Z_{G,\beta}} \exp\{-\beta H(\xi)\}, \quad (1)$$

gdzie  $Z_{G,\beta} = \sum_{\eta} \exp\{-\beta H(\eta)\}$  jest stałą normującą, zaś  $\beta = \frac{1}{k_B T}$  jest współczynnikiem odwrotnie proporcjonalnym do temperatury otoczenia ( $k_B$  to stała Boltzmannna).

# Cel projektu

Celem projektu jest analiza zachowania się układu spinów ferromagnetyka w ustalonym rezerwuarze termicznym. Sprowadza się to do opracowania algorytmu umożliwiającego próbkowanie z zadanego rozkładu  $\pi_{G,\beta}$  dla ustalonego grafu (np. krata, graf pełny) i temperatury otoczenia.

# Algorytmiczne rozwiązanie

Bezpośrednie próbkowanie z rozkładu (1) jest zadaniem trudnym. Liczba możliwych układów wynosi  $2^N$ , więc w szczególności dla modelu o dużej liczbie wierzchołków zadanie może być wręcz niewykonalne. Stąd w praktyce, w celu próbkowania z takiego rozkładu korzysta się z metod Monte Carlo - metod opartych na skonstruowaniu nieprzywiedlnego i nieokresowego łańcucha Markowa o rozkładzie stacjonarnym  $\pi_{G,\beta}$ , który zapewnia asymptotyczną zbieżność do zadanego rozkładu. W niniejszej pracy wykorzystany został algorytm Proppa-Wilsona, z którego implementację przeanalizujemy w dalszej części pracy.



# Zamiana liczby w macierz

```
1 def num_to_matrix(num, N):
2     n2 = N**2
3     x = bin(num)[2:]
4
5     if len(x) < n2:
6         y = (n2 - len(x)) * '0' + x
7     else:
8         y = x
9
10    matrix = [int(char) for char in y]
11    matrix = np.array(matrix).reshape(N, N)
12
13    return(matrix)
```

Funkcja dokonuje zamianę liczby z systemu dziesiętnego na dwójkowy, a następnie konstruuje odpowiednią macierz (reprezentująca stan modelu Isinga).

# Zamiana systemu dwójkowego na dziesiętny

```
1 def binary_to_decimal(lista_binarna):  
2     num = 0  
3     for value in lista_binarna:  
4         num = 2 * num + value  
5     return num
```

Funkcja zamienia liczbę w systemie dwójkowym na liczbę w systemie dziesiętnym.

# Hamiltonian dla kraty

```
1 def get_hamiltonian(matrix):  
2     kern = np.array([  
3         [0,1,0],  
4         [1,0,1],  
5         [0,1,0]  
6     ])  
7  
8     return((matrix * convolve(matrix, kern, ↵  
mode = 'constant', cval = 0)).sum()/2)
```

Funkcja oblicza hamiltonian konkretnego stanu modelu Isinga, reprezentowanego przez macierz (dla kraty).

# Hamiltonian dla grafu pełnego

```
1 def get_hamiltonian2(matrix):
2     spin_up_count = matrix[matrix == 1].sum()
3     n2 = (matrix.shape[0])**2
4     if spin_up_count == 0 or spin_up_count == n2:
5         energy = (n2)*(n2-1)/2
6     else:
7         energy = spin_up_count*(spin_up_count-1)/2 + (n2 - spin_up_count)*(n2 - spin_up_count-1)/2 - (n2 - spin_up_count)*spin_up_count
8     return energy
```

Funkcja oblicza hamiltonian konkretnego stanu modelu Isinga, reprezentowanego przez macierz (dla grafu pełnego).

# Znalezienie teoretycznego rozkładu stacjonarnego

```
1 def get_equilibrium_distribution(N,beta,↵  
    graph_type):  
2     if graph_type == 'krata':  
3         g = get_hamiltonian  
4     elif graph_type == 'pelny':  
5         g = get_hamiltonian2  
6     n = 2**(N*N)  
7     pi_theoretical = np.zeros(n)  
8     Z = 0  
9     for i in range(n):  
10        matrix = num_to_matrix(i,N)  
11        matrix[matrix == 0] = -1  
12        pi_theoretical[i] = np.exp(beta * g(↵  
matrix))  
13        Z += pi_theoretical[i]  
14    pi_theoretical = 1/Z * np.array(↵  
pi_theoretical)  
15    return pi_theoretical
```

Funkcja wyznacza teoretyczny rozkład stacjonarny modelu Isinga na podstawie wzoru

$$\pi_{G,\beta}(\xi) = \frac{1}{Z_{G,\beta}} \exp\{-\beta H(\xi)\}, \quad (2)$$

gdzie  $Z_{G,\beta} = \sum_{\eta} \exp\{-\beta H(\eta)\}$  jest stałą normującą, zaś  $\beta = \frac{1}{k_B T}$  jest współczynnikiem odwrotnie proporcjonalnym do temperatury otoczenia ( $k_B$  to stała Boltzmanna).

# Próbnik Gibbsa dla Kraty

```
1 def update(beta, x, y, krata):
2     delta = 0
3     if x>0:
4         delta += krata[x-1,y]
5     if x<N-1:
6         delta += krata[x+1,y]
7     if y>0:
8         delta += krata[x,y-1]
9     if y<N-1:
10        delta += krata[x,y+1]
11
12     return (np.exp(2*beta*(delta))/(np.exp(2*beta*(delta))+1))
```

Funkcja wyznacza wartość funkcji akceptacji próbnika Gibbsa, wykorzystywanego w algorytmie Proppa-Wilsona dla kraty.

Funkcja zwraca taką wartość, ponieważ z [1] wiemy, że

$$\pi_{G,\beta}(X(x) = +1 | X(V \setminus \{x\}) = \xi) = \frac{\exp(2\beta(k_+(x, \xi) - k_-(x, \xi)))}{\exp(2\beta(k_+(x, \xi) - k_-(x, \xi))) + 1},$$

gdzie  $\delta = k_+(x, \xi) - k_-(x, \xi)$ , zaś  $k_+(x, \xi)$  i  $k_-(x, \xi)$  to odpowiednio liczba sąsiadów o spinie  $+1$  i liczba sąsiadów o spinie  $-1$  naszego wylosowanego punktu  $x$ .  $V$  to są wierzchołki z modelu Isinga,  $X \in \{-1, +1\}^V$  jest losowym stanem modelu Isinga, a  $\xi \in \{-1, +1\}^{V \setminus x}$  to  $X$  z wyłączeniem punktu  $x$ .



# Próbnik Gibbsa dla grafu pełnego

```
1 def update2(beta, x, y, graf, energia_grafu):  
2     delta = energia_grafu - graf[x,y]  
3  
4     return (np.exp(2*beta*(delta))/(np.exp(2*↵  
        beta*(delta))+1))
```

Funkcja wyznacza wartość funkcji akceptacji próbnika Gibbsa, wykorzystywanego w algorytmie Proppa-Wilsona dla grafu pełnego. Funkcja działa na tej samej zasadzie jak funkcja **update**, jedyna różnica to sposób zliczania spinów sąsiadów wierzchołka (x,y).

# Algorytm Proppa-Wilsona - krata

```
1 N = 2100
2 beta = 0.04
3 KrataP = np.ones((N,N))
4 KrataN = -1*np.ones((N,N))
5 rzuty = [random()]
6 while (KrataN == KrataP).all() == False:
7     for i in range(len(rzuty)):
8         x, y = randint(0,N,2)
9         KrataP[x,y] = 1 if rzuty[-(i+1)] <  $\leftarrow$ 
10         update(beta, x, y, KrataP) else -1
11         KrataN[x,y] = 1 if rzuty[-(i+1)] <  $\leftarrow$ 
12         update(beta, x, y, KrataN) else -1
13         rzuty += [random() for i in range(len(rzuty) -  $\leftarrow$ 
14         )]
```

Powyżej prezentujemy implementację algorytmu Proppa-Wilsona dla kraty. Stosujemy tutaj metodę sandwichingu, która sprawia, że algorytm Proppa-Wilsona wymaga puszczenia tylko dwóch łańcuchów markowa - startujących ze stanów o wszystkich spinach równych 1 i wszystkich spinach równych  $-1$  odpowiednio - a nie  $2^k$  łańcuchów, gdzie  $k$  to liczba konfiguracji w modelu Isinga. Z tego względu sandwiching umożliwia nam realizację algorytmu dla dużych  $k$ .

Przykładowo, rozpatrzmy model Isinga o macierzy  $2100 \times 2100$  i  $\beta = 0.04$ . Losujemy zmienną losową  $U_{-1}$  z rozkładu jednostajnego na  $[0, 1]$ , a następnie punkt, który chcemy potencjalnie zamienić. Zamiany dokonujemy na podstawie odpowiedniej funkcji akceptacji dla macierzy samych  $+1$  i macierzy samych  $-1$  oddzielnie. Jeśli w chwili 0 łańcuchy markowa startujące z tych macierzy nie znajdują się w tym samym stanie, podwajamy liczbę zmienną losowych  $U$  z rozkładu jednostajnego, jednocześnie pamiętając stare  $U$  i puszczamy algorytm ponownie. Pełny opis algorytmu znajdziemy w [1], rozdział **The Propp-Wilson Algorithm**. W powyższym przykładzie dla macierzy  $2100 \times 2100$  kod liczył się 1 godzinę i trzeba było przechować 134217728  $U$  w pamięci.

# Algorytm Proppa Wilsona - graf pełny

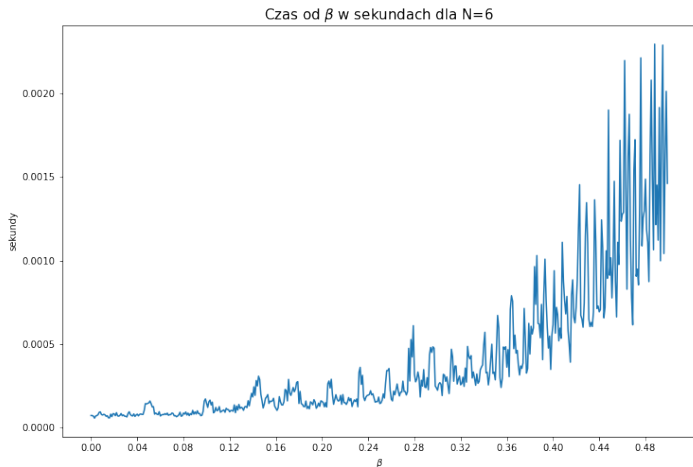
```
1 N = 40
2 beta = 0.05
3 KrataP = np.ones((N,N))
4 KrataN = -1*np.ones((N,N))
5 energiaP = N**2
6 energiaN = -N**2
7
8 rzuty = [random()]
```

# Algorytm Proppa Wilsona - graf pełny

```
1 while (KrataN == KrataP).all() == False:
2     for i in range(len(rzuty)):
3         x, y = randint(0,N,2)
4         KrataP_xy = KrataP[x,y]
5         KrataN_xy = KrataN[x,y]
6         KrataP[x,y] = 1 if rzuty[-(i+1)] < ↵
update2(beta, x, y, KrataP, energiaP) else ↵
-1
7         KrataN[x,y] = 1 if rzuty[-(i+1)] < ↵
update2(beta, x, y, KrataN, energiaN) else ↵
-1
8
9         if KrataP_xy != KrataP[x,y]:
10             energiaP += 2*KrataP[x,y]
11         if KrataN_xy != KrataN[x,y]:
12             energiaN += 2*KrataN[x,y]
13
14     rzuty += [random() for i in range(len(rzuty)↵
)]
```

Powyżej przedstawiamy kod algorytmu Proppa-Wilsona dla grafu pełnego. Działa on na tej samej zasadzie co poprzedni, jedyną różnicą jest przechowywanie dodatkowych zmiennych reprezentujących energię odpowiednich układów, która jest potrzebna do wyznaczenia sumy spinów sąsiadów w kolejnych iteracjach.

# Zależność czasu kompilacji od $\beta$

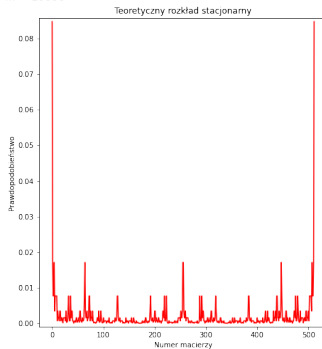
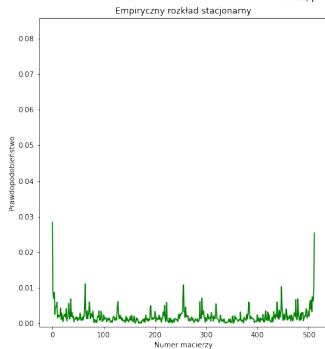




Z powyższego wykresu od razu widać, że wraz ze wzrostem  $\beta$ , czas potrzebny do symulacji łańcucha rośnie wykładniczo. Z teorii wiemy, że od  $\beta = 0.441$  czas na wykonanie algorytmu powinien drastycznie wzrosnąć i to też widzimy na wykresie.

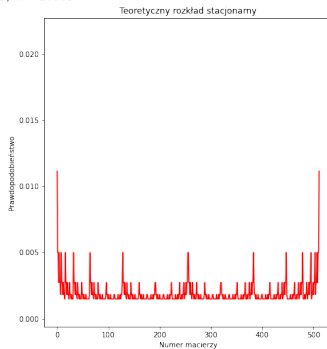
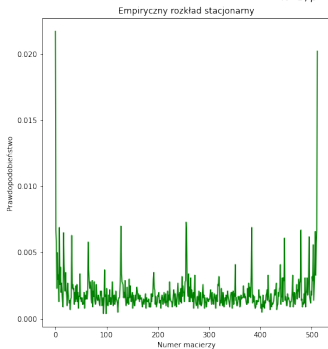
# Rozkład stacjonarny dla kraty

Porównanie empirycznego rozkładu stacjonarnego z teoretycznym rozkładem stacjonarnym dla grafu pełnego  
 $N=3$ ,  $\beta=0.2$ ,  $m = 10000$



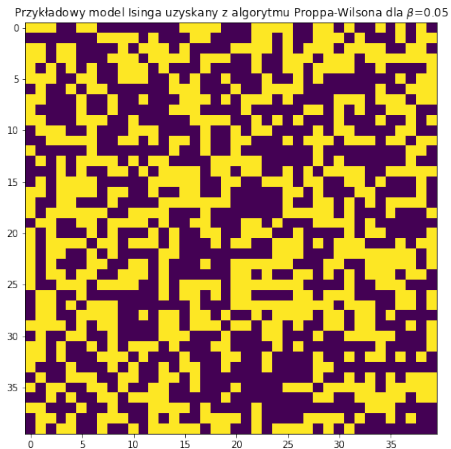
# Rozkład stacjonarny dla grafu pełnego

Porównanie empirycznego rozkładu stacjonarnego z teoretycznym rozkładem stacjonarnym dla grafu pełnego  
 $N=3$ ,  $\beta=0.05$ ,  $m = 10000$

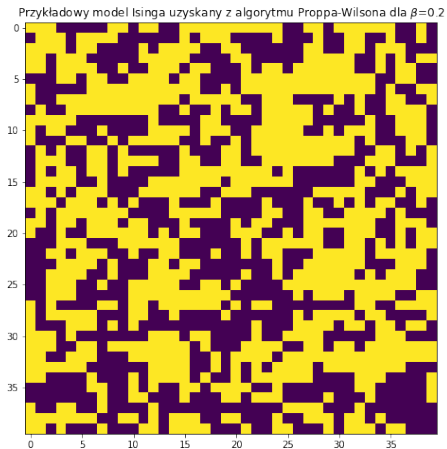


Co prawda celem projektu nie jest znajdowanie dokładnego rozkładu stacjonarnego, tylko możliwość próbkowania z niego, ale chcieliśmy sprawdzić, czy nasz kod rzeczywiście działa. Dla macierzy  $3 \times 3$  istnieje 512 stanów i wyznaczyliśmy prawdopodobieństwo każdego z nich za pomocą wzoru, wykres po prawej przedstawia te prawdopodobieństwa. Puściliśmy nasz kod 10000 razy i znormalizowaliśmy wyniki występowania łańcucha na końcu algorytmu. Jak widać, rozkłady prawdopodobieństwa mają podobny kształt, więc dobrze zaimplementowaliśmy algorytm.

# Próbka modelu Isinga dla $\beta = 0.05$

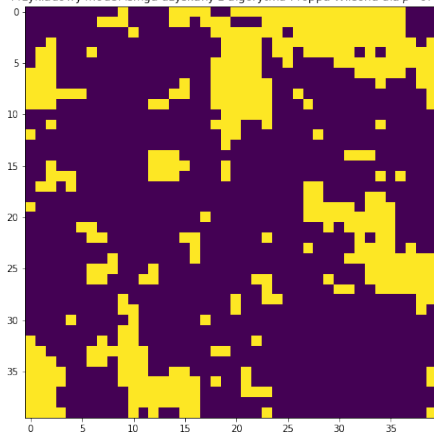


# Próbka modelu Isinga dla $\beta = 0.2$



# Próbka modelu Isinga dla $\beta = 0.441$

Przykładowy model Isinga uzyskany z algorytmu Proppa-Wilsona dla  $\beta = 0.441$



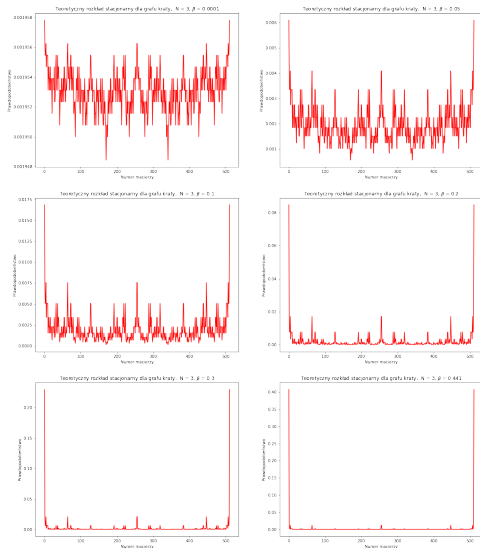
# Opis

Powyżej przedstawiliśmy przykładowe macierze  $20 \times 20$ , które powstały na końcu algorytmu, dla poszczególnych  $\beta$ . Z fizyki wynika, że dla większych  $\beta$  powinny być większe skupiska jednego spinu, co dobrze obrazują te przykładowe wykresy.



# Zależność rozkładu stacjonarnego od $\beta$

Rozkład stacjonarny w zależności od  $\beta$

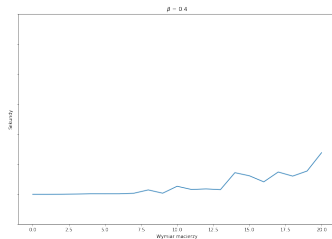
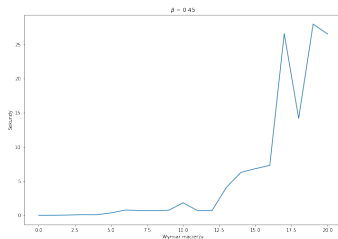


# Opis

Chcieliśmy też zobaczyć, jaki wpływ ma  $\beta$  na rozkład stacjonarny i sprawdziliśmy to dla macierzy  $3 \times 3$ . Jak widać, wraz ze wzrostem  $\beta$  preferowane są stany ze spinami o takim samym znaku, ponieważ mają mniej energii.

# Zależność czasu wykonania algorytmu od wymiaru macierzy dla konkretnych $\beta$

Czas wykonania algorytmu w zależności od wymiaru dla poszczególnych  $\beta$



# Opis

Z teorii wiemy, że dla  $\beta > 0.441$  powinny być problemy związane z kompilacją. Dla  $\beta = 0.45$  oraz  $\beta = 0.4$  zbadaliśmy, jakie macierze będą dłużej się liczyły niż 4 minuty. Dla  $\beta = 0.45$ , od  $N = 16$  czas wykonania rośnie wykładniczo z każdym powiększeniem wymiaru, w przeciwieństwie do przypadku  $\beta = 0.4$ , gdzie w miarę liniowo zwiększa się czas wykonania. Z tego wynika, że temperatura krytyczna równa  $\beta = 0.441$  istnieje, dla  $\beta > 0.441$  czas wykonania może być strasznie długi dla większych macierzy, lub algorytm może wcale się nie wykonać.

# Bibliografia

- 1 Olle Häggström "Finite Markov Chains and Algorithmic Applications"
- 2 <https://www.youtube.com/watch?v=ULMokGuoHzI>